Nb-Zr-Ti 3元合金の磁場-電流特性

Critical Current of Superconducting Nb-Zr-Ti Ternary Alloys in Magnetic Field

土 井 俊 雄*
石 田 文 彦**

Toshio Doi
Fumihiko Ishida

川 辺 潮**
北 田 正 弘**

Ushio Kawabe
Masahiro Kitada

要旨

1. 緒 言

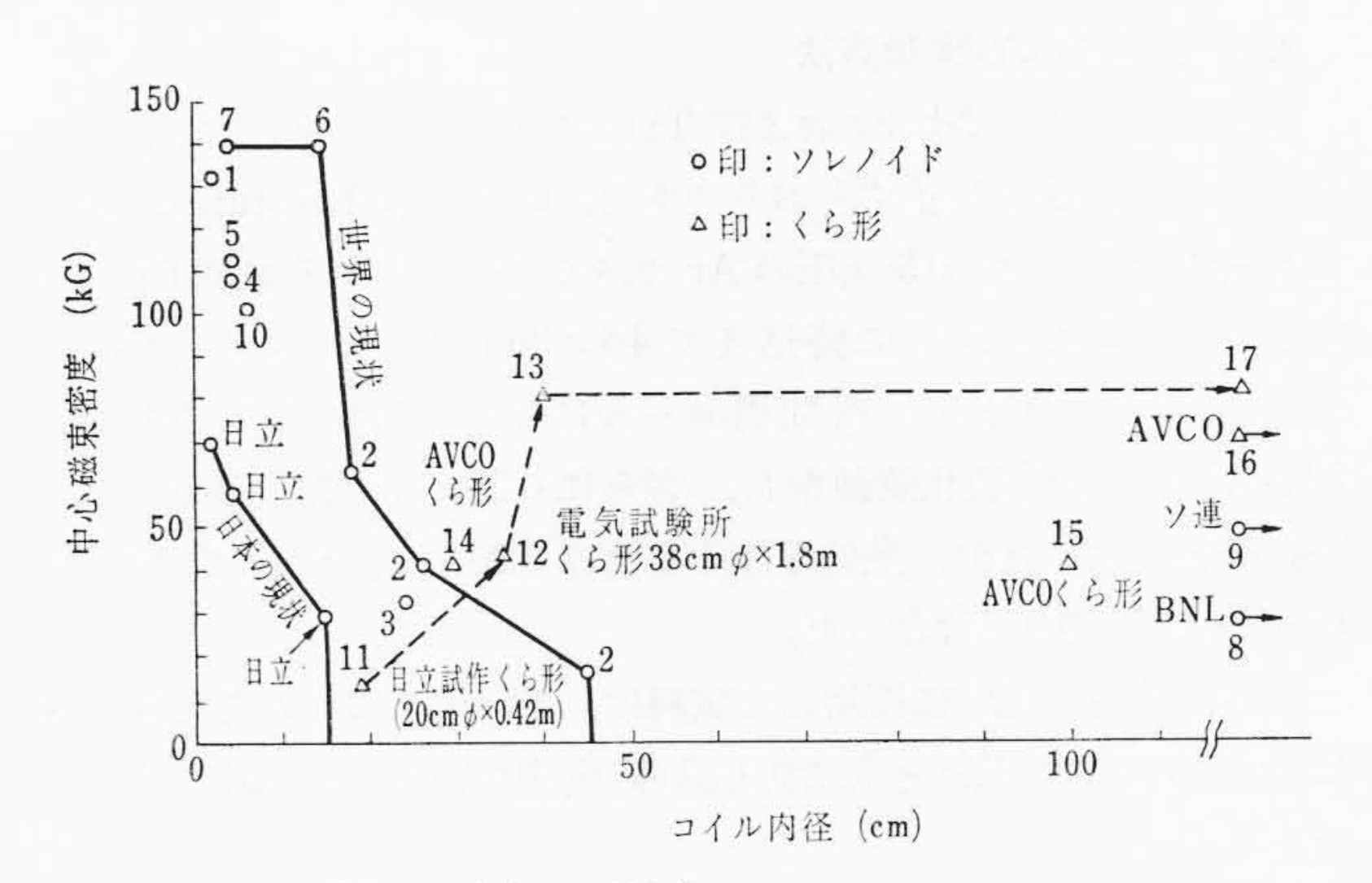
1911年 H. K. Onnes 氏が超電導現象を発見して以来,数十年間は 工業的な面への応用にはさして見るべきものがなかったが、1956年 に Buck 氏(1)が超電導コンピュータ素子としてのクライオトロンを 発明することにより電子工学の方面への応用の道が開けようとし た。しかし、IBM などでの精力的な研究にもかかわらず動作時間が 長いことなどが問題となり、コンピュータ素子への応用は困難であ るといわれていたが、最近はまた、大容量メモリ素子として脚光を 浴びつつある。一方, 従来の純金属材料の研究に代わって, 合金, 化合物材料の研究が盛んとなり、ついに 1961 年に Nb₃Sn や Nb-Zr のような高い磁場まで通電しうる材料が発見され、超電導マグネッ トへの応用が試みられるようになり、現在実用の装置として稼働し ている超電導マグネットは小形のものを含めると100個を越えてい る。図1は超電導マグネットのコイル内径と中心磁束密度との関係 を示したものである。この図から明らかなように、ここ数年の進歩 はめざましく,内径 15 cm で中心磁束密度 140 kG という大きなも のがすでに完成している(2)。

2. 超電導 Nb-Zr-Ti 3元合金の磁場-電流特性

2.1 一 般

硬超電導体のコイル材料としての最も重要な特性の一つである H- J_c 特性は材料の内部微細構造にきわめて敏感である。一般に,加工および熱処理などを加えて転位および析出物などを導入し,不均質な状態にすると J_c は高くなる。これは転位,析出物などが磁束線の移動を妨げる障壁になるためである。混合状態にある磁束線の運動および磁束線と欠陥との相互作用に関する理論的解析はすでに多くなされている $^{(3)}$ ~ $^{(6)}$ 。しかしながら,Nb-Zr 合金などの臨界磁場の高い硬超電導体については微細構造の解析が困難であること,さらにピン止め機構の完全な解析が得られていないことなどのために,H- J_c 特性と微細構造との定量的関係はもちろんのこと定性的にも不明の点が多い。

本報は、Nb-Zr-Ti合金のH-J。特性に及ぼす析出の影影を検討し



GE $1/4 \text{ in}\phi - 132 \text{ kG}$ ANL $70 \text{ in}\phi - 67 \text{ kG}$, $11 \text{ in}\phi - 42 \text{ kG}$, $18 \text{ in}\phi - 17 \text{ kG}$

3. AVCO $10 \text{ in}\phi - 32.8 \text{ kG}$ 4. RCA $1.25 \text{ in}\phi - 107 \text{ kG}$ 5. BNL $1.25 \text{ in}\phi - 112 \text{ kG}$

RCA 15 cm φ − 140 kG
 BNL 2.5 cm φ − 140 kG
 BNL 16 フート φ ··· 30 kG 計画中

9. ソ連 5 mφ-50 kG 計画中 10. Magnion 5 cmφ-103 kG 11. 日立くら形 20 cmφ-16 kG

12. 電試くら形 38 cm ϕ - 45 kG 計画中 13. 電試くら形 40 cm ϕ - 80 kG 未定

14. AVCO くら形 30 cm φ - 40 kG 15. AVCO くら形 100 cm φ - 43 kG 計画中

16. AVCO くら形 128 in ϕ - 70 kG 計画中 17. 電試くら形 120 cm ϕ - 80 kG 未定

図1 日本と世界の超電導マグネットの現状

たものである。 *H-J_c* 特性に及ぼす析出の影響についてはすでに多くの報告が出されている。

Nb-Zr 合金では $^{(7)(8)}$ 2 相分離,共析変態および ω 変態,また Nb-Ti 合金 $^{(9)^{-(11)}}$ については $\beta \rightarrow \alpha + \beta$ 変態およびマルテンサイト変態 の影響が検討されている。これらの研究でピン止めには析出物の種類のみでなく,その大きさと分布状態もきわめて重要な因子となり, cohelence length のオーダでの微細構造が問題であることが明らかになった。

試料として選んだ Nb-40 Zr-10 Ti および Nb-5 Zr-60 Ti 合金の H_r は 100 kOe 程度,80 kOe での J_c は 10^4 A/cm² のオーダであり, J_c に及ぼす析出の影響はきわめて大きい $^{(12)}$ ~ $^{(14)}$ 。 Nb-40 Zr-10 Ti 合金に対しては $\beta \to \beta' + \beta''$ 変態,Nb-5 Zr-60 Ti 合金に対しては

^{*} 日立製作所中央研究所 工学博士

^{**} 日立製作所中央研究所

表 1 Nb, Zr, Ti の分析値 (単位は ppm)

混合物質	Nb	Zr	Ti
O 2	320	770	1,580
H_2	10	10	10
N_2	90	20	40
Cr	<10	< 5	<5
Al	5~1	5~1	5~1
Cu	<1	5~1	50~10
Fe	100~50	$100 \sim 50$	1,000~500
Si	<10	10~5	500~100
W	<100		
Zr	<100	strong	<5
Ti	5~1	10~5	strong
V	<10		
Mn		50~10	100~50
Mg		5~1	10~5
Sn		<5	100~50
Co		< 0.1	< 0.1
Hf	Hf		

 $\beta \to \alpha + \beta$ 変態の影響を検討した。前者は 700°C,後者は 500°C での析出過程を光学顕微鏡,電子顕微鏡, X 線回折,硬度,電気抵抗および引張り試験などによって解析され,これらの温度で熱処理した試料の H- J_c 特性, T_c および H_r が測定された。

2.2 試料および実験方法

原材料としての Nb, Zr および Ti には 8ϕ の棒を用いたが,その化学分析値は表 1 に示すとおりである。溶解には Levitation Melting 装置を用いた。0.5 気圧の Ar ガスふんい気中で総量約 6 g で溶解し,水冷銅モールドに鋳込んで $4\phi \times 30$ 1 のインゴットを作製した。 このインゴットを冷間溝 ロールによって 2.0ϕ まで圧延後,1,100 $\mathbb{C} \times 5$ h の均質化焼鈍をし, さらに 0.25ϕ まで冷間伸線して実験試料とした。なお,熱処理は 1 または 0.25ϕ で,すべて 1×10^{-6} mmHg の真空中で行なった。

なお,時効の実験に使用した試料は,Nbハクに包んで石英管中にArガス 0.8 気圧とともに封じ込み,所定の時効後,水中で急冷した。

H- J_c 特性の測定はステンレス鋼のシャント抵抗を並列に $[0.25\,\phi \times 30\,l\,$ の試料を I_n はんだで直流電源に接続して行なった。シャント抵抗から電圧端子を取り出し,一定磁場中で電流を徐々に増加していき,電圧端子に発生する電圧が数 μV に達したときの電流値をその磁場中での臨界電流値とした。なお,測定はすべて $4.2^\circ K$,磁場と電流との方向は直角にして行なった。 H_r は $0.25\phi \times 30\,l\,$ の試料に 5 mA の直流を流しておいてパルス磁場をかけ $0.1\,$ mV の電圧が発生したときの磁場をとった。 T_c は電気抵抗法によったが,試料 $(0.25\phi \times 20\,l)$ の抵抗が $\frac{1}{2}R_n$ に達したときの温度を T_c とした。ここで R_n は常電導のときの抵抗である。なお,設定電流は $1\,$ mA であった。

組織観察用の腐食液には $HF: H_2SO_4: H_2O_2: H_2O$ の体積比が 1:2:2:10 の混合液を用いた。電子顕微鏡観察はカーボン 2 段レプリカ法により、シャドウイングには Pt-20 Pd 合金を使用した。電子顕微鏡は日立製 HS-6 形を 50 kV で使用した。 X 線解析には直径 114.6 mm の Debye-Scherer カメラによって銅の K_α 線を用いて写真をとった。 硬度の測定にはビッカース微小硬度計を使用し荷重を 200 g とした。

引張り試験にはテンシロン引張り試験機を用い、標点距離 50、ひずみ速度 $1.67\times10^{-4}/s$ で行なった。電気抵抗の測定にはポテンショメータを用い $0.25\phi\times70~l$ の試料で 10~mA の設定電流で求めた。

2.3 実 験 結 果

2.3.1 Nb-40 Zr-10 Ti 合金の H-Jc 特性および Tc に及ぼす 析出の影響

Nb-40 Zr-10 Ti 合金の 700℃ における析出過程を検討した。

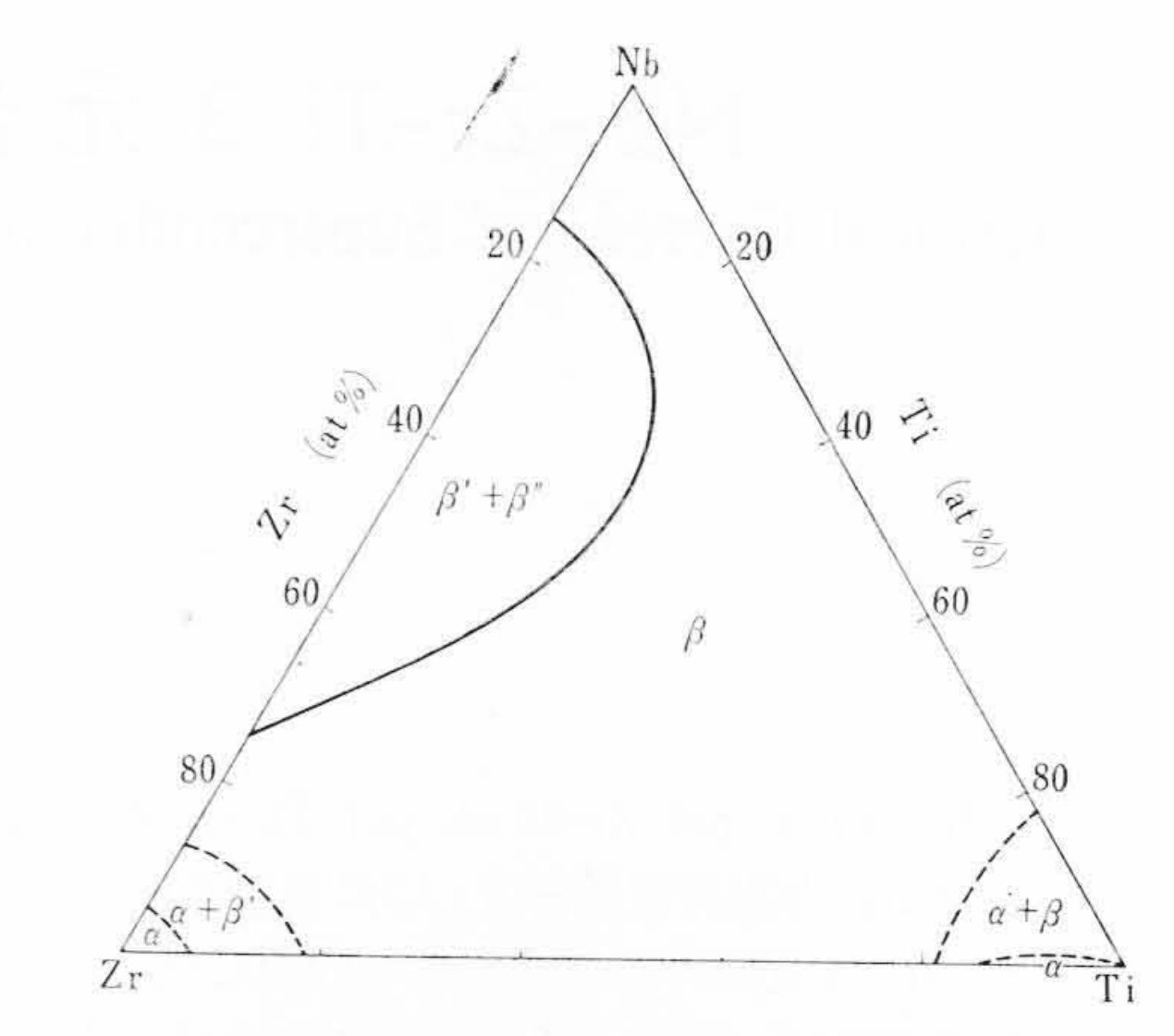
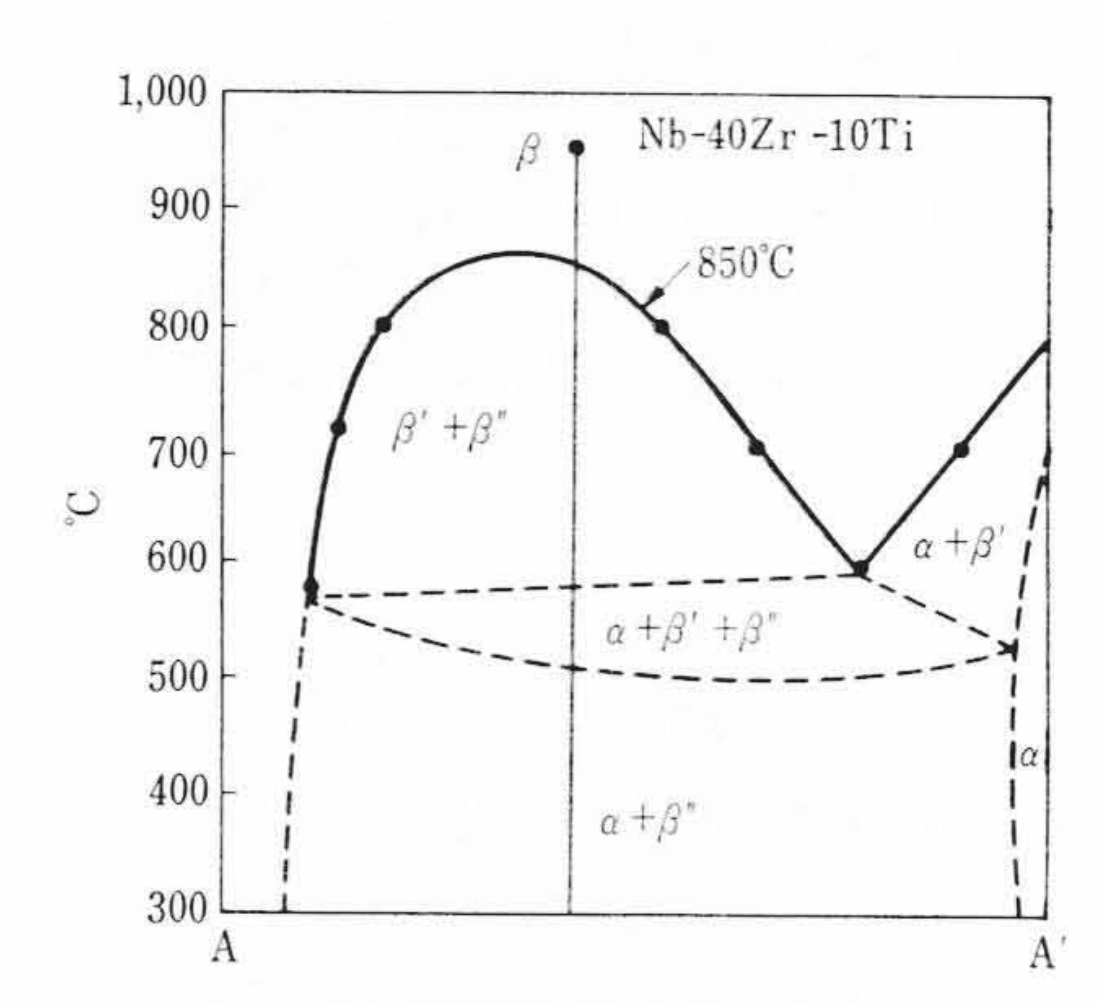


図 2 Nb-Zr-Ti 3 元合金の 700℃ における等温断面図



(A, A' はそれぞれ Nb-10 Ti, Zr-10 Ti を示す) 図 3 Ti 含有量を 10% と一定にした Nb-Zr-Ti 合金の平衡状態図

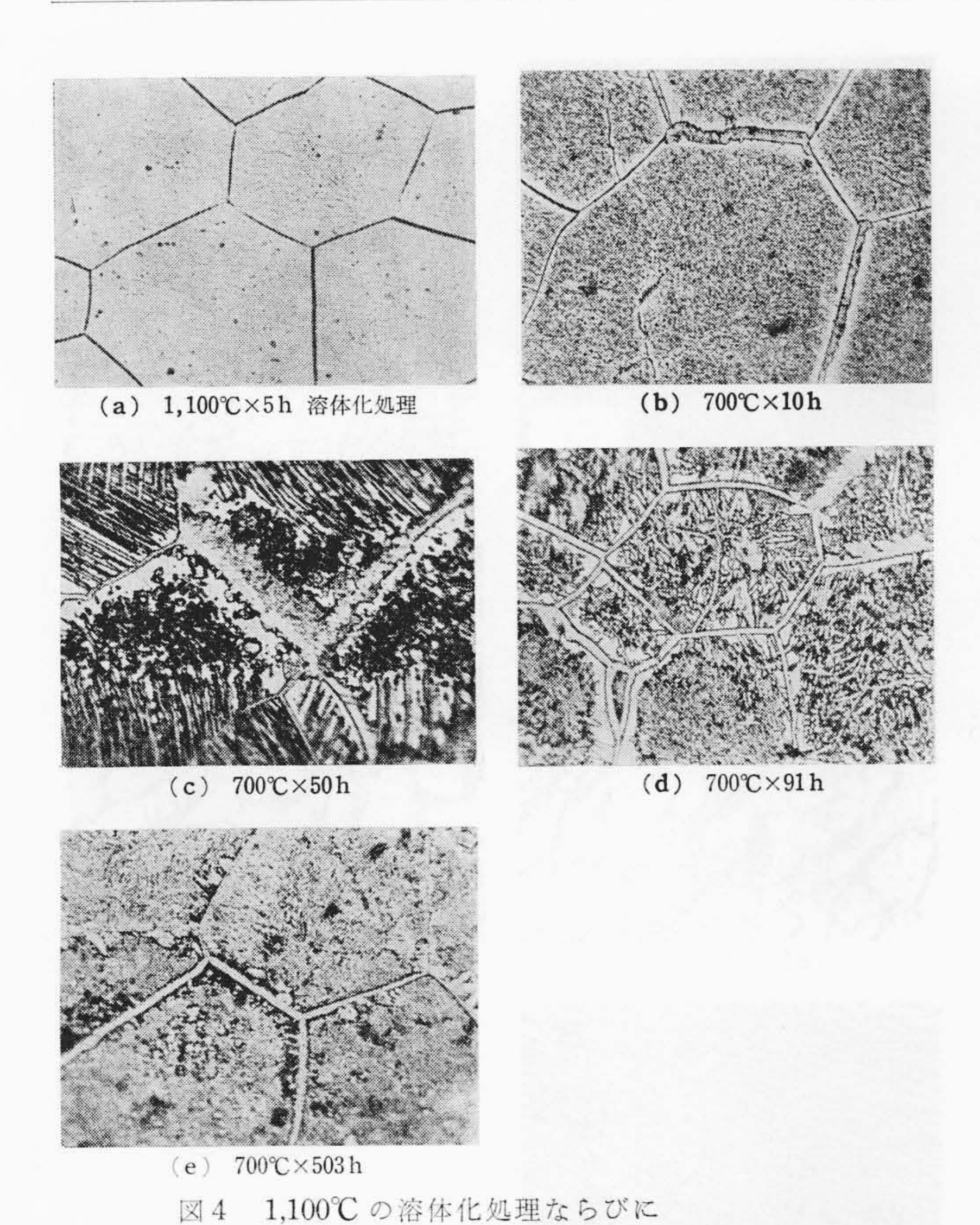
Nb-Zr-Ti 合金の 700℃ における等温断面図を図 2 に⁽¹⁵⁾,また Ti 含有量を 10% 一定としたときの 3 元合金切断状態図の 概略を図 3 に示す。

1,100°C×5hの溶体化処理後700°C で熱処理すると過飽和 β 固溶体は β' と β'' 相に変態する。1,100°C×5hの溶体化処理材,また,さらに700°C で10, 50, 91 および503時間熱処理した試料の光学顕微鏡と電子顕微鏡レプリカ写真を図4および図5に示す。

1,100℃×5hの溶体化処理材は、組織観察とX線解析によれば 体心立方晶の β 固溶体であった。 700℃×10h の熱処理では、粒 内に均一に粒状析出が起こるとともに粒界に粒界反応による析出 相が多少見られる。また、X線回折写真ではマトリックスβ相か らの反射線の両側に β' および β'' 相からの反射線も認められた。 50時間熱処理では粒界反応が顕著になっている。この粒界反応に よって生じた析出相を電子顕微鏡で観察すると、図 $\mathbf{5}(\mathbf{c})$ のよう なパーライト状の組織であった。また、粒内の粒状析出物は図5 (d)のようなウイドマンステッテン状またはパーライト状の組織 になっている。91時間熱処理ではウイドマンステッテン状組織 は消失し、ほとんどパーライト状の組織になっている。また、X 線回折パターンは β' と β'' 相からの反射線のみで β 相のそれは認 められない。503時間熱処理材の組織は91時間熱処理材のそれと ほとんど差がなく、パーライト状の組織である。したがって、91 時間前後の熱処理で β' と β'' 相の2相のみからなる状態になった と考えてよい。

溶体化処理後 700° C で熱処理した Nb-40 Zr-10 Ti 合金のビッカース硬度 (H_V) ,引張り強さ (σ_B) ,電気抵抗比 $(\rho_{300^{\circ}\text{K}}/\rho_{15^{\circ}\text{K}})$, T_c および 40 kOe での J_c と熱処理時間との関係を図 6 に示す。

熱処理時間を増すとともに H_V , σ_B は減少していく。 10 時間熱



これを700℃で各時間熱処理したときの

Nb-40 Zr-10 Ti 合金の光学顕微鏡写真 (×560)

図 6 700℃で熱処理した Nb-40 Zr-10 Ti 合金の 各種特性と熱処理時間との関係

熱処理時間 (h)

200

100

300

400

500

処理材の H_V , σ_B は溶体化処理材のそれより低いので、この時間ではすでに過時効になり、内部応力は溶体化処理材のそれより減少している。電気抵抗比は熱処理時間を増すと増加していくが 91時間で一定になる。 すなわち組織観察と X 線解析の結果と同様に 91時間前後の熱処理でほぼ平衡状態に達したことを示す。過飽和 固溶体 β の T_c は 9.3 $^{\circ}$ K であるが熱処理によって連続的に高くなり 91時間の熱処理で 10.3 $^{\circ}$ K と一定になる。 700 $^{\circ}$ での平衡相 β' と β'' に相当する組成の固溶体の T_c はそれぞれ 8.5 および 10.3 $^{\circ}$ K である (12) (10.3 (10.3 (

したがって91時間熱処理材の T_c はこの β'' 相のそれに等しい。 β , β' および β'' 相のうち T_c の最も高い β'' 相の値になり,以

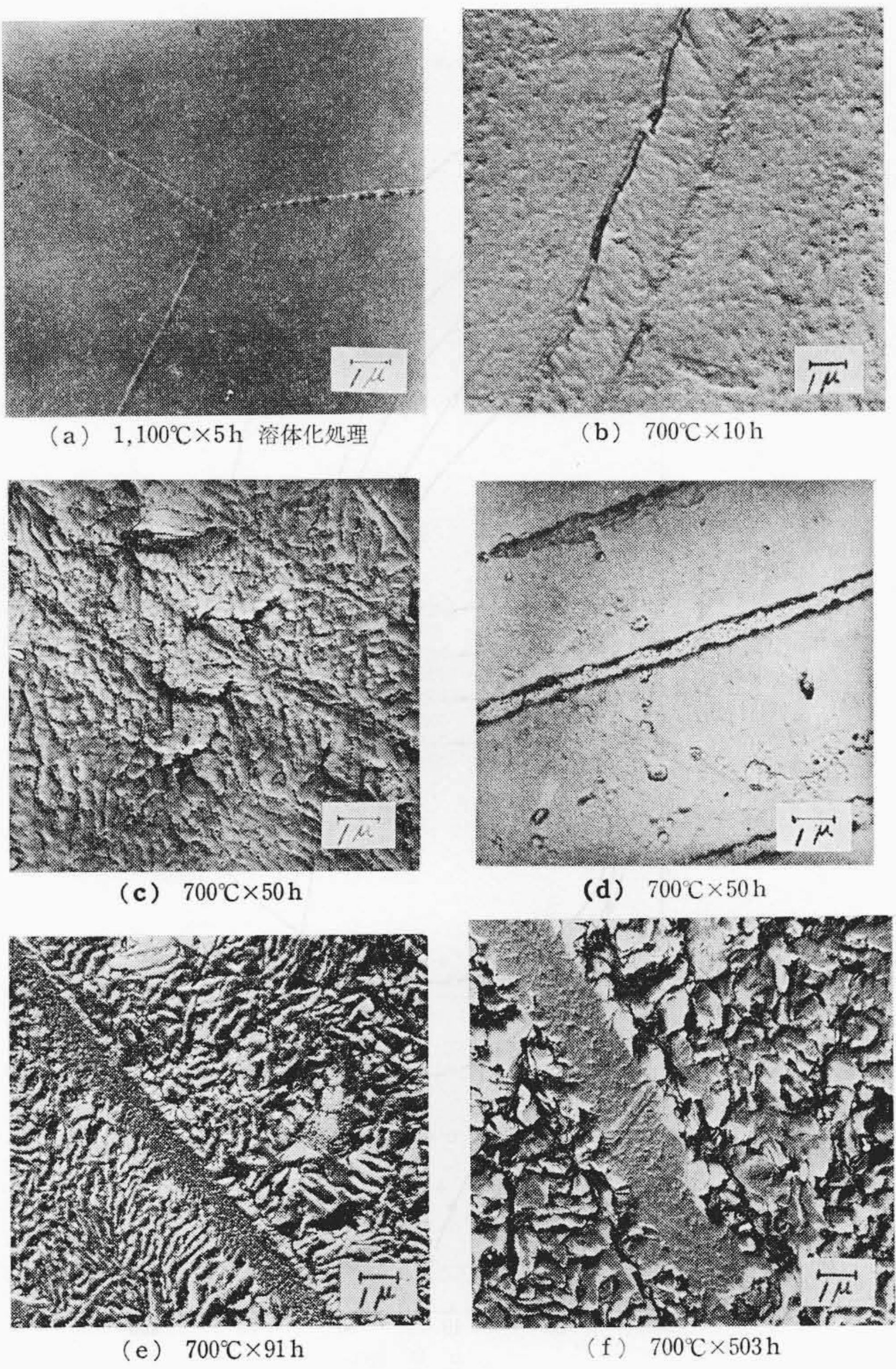


図 5 1,100℃ の溶体化処理ならびに これを 700℃ で各時間熱処理したときの Nb-40 Zr-10 Ti 合金の電子顕微鏡レプリカ写真

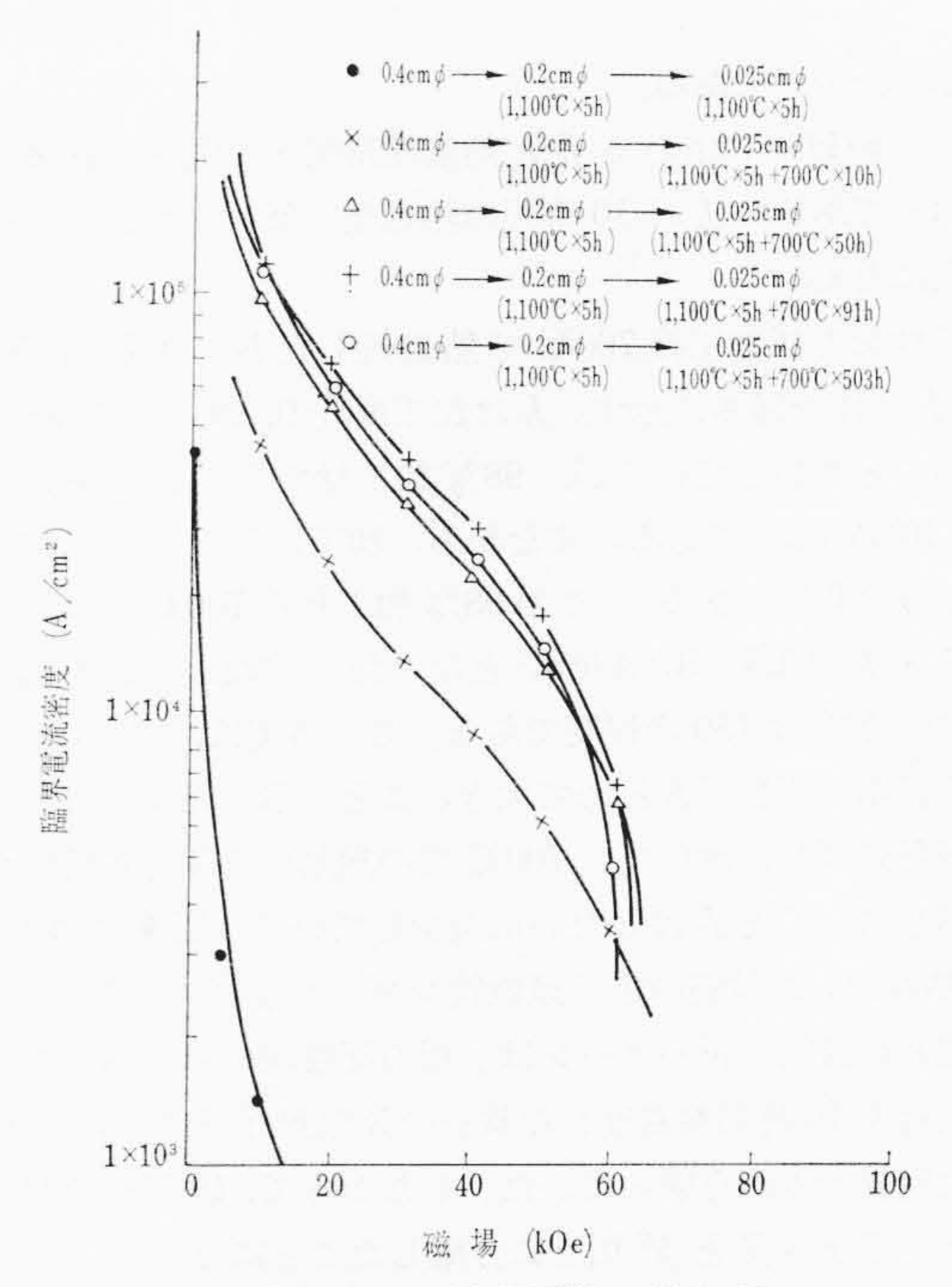


図7 溶体化処理後 700℃ で熱処理した Nb-40 Zr-10 Ti 合金の *H-J_c* 特性

後変化しないことは組織観察,X線解析および電気抵抗比の測定結果と一致して,91 時間の熱処理で2 相分離はほぼ完了したことを示す。 図7 は溶体化処理後700℃ で熱処理した試料のH– J_c 特

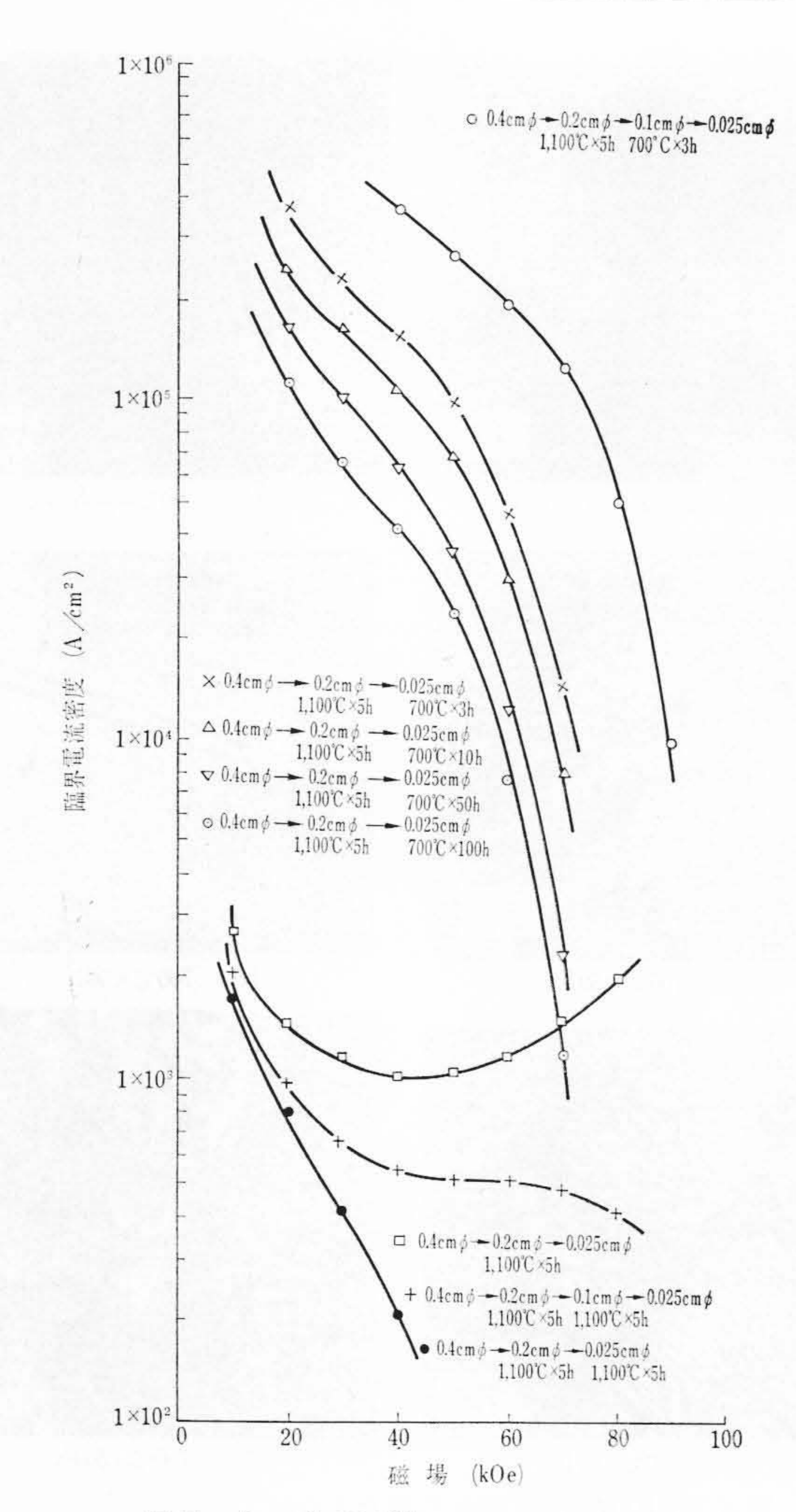


図8 加工後 700℃ で熱処理した Nb-40 Zr-10 Ti 合金の *H-J_c* 特性

性を示したものである。

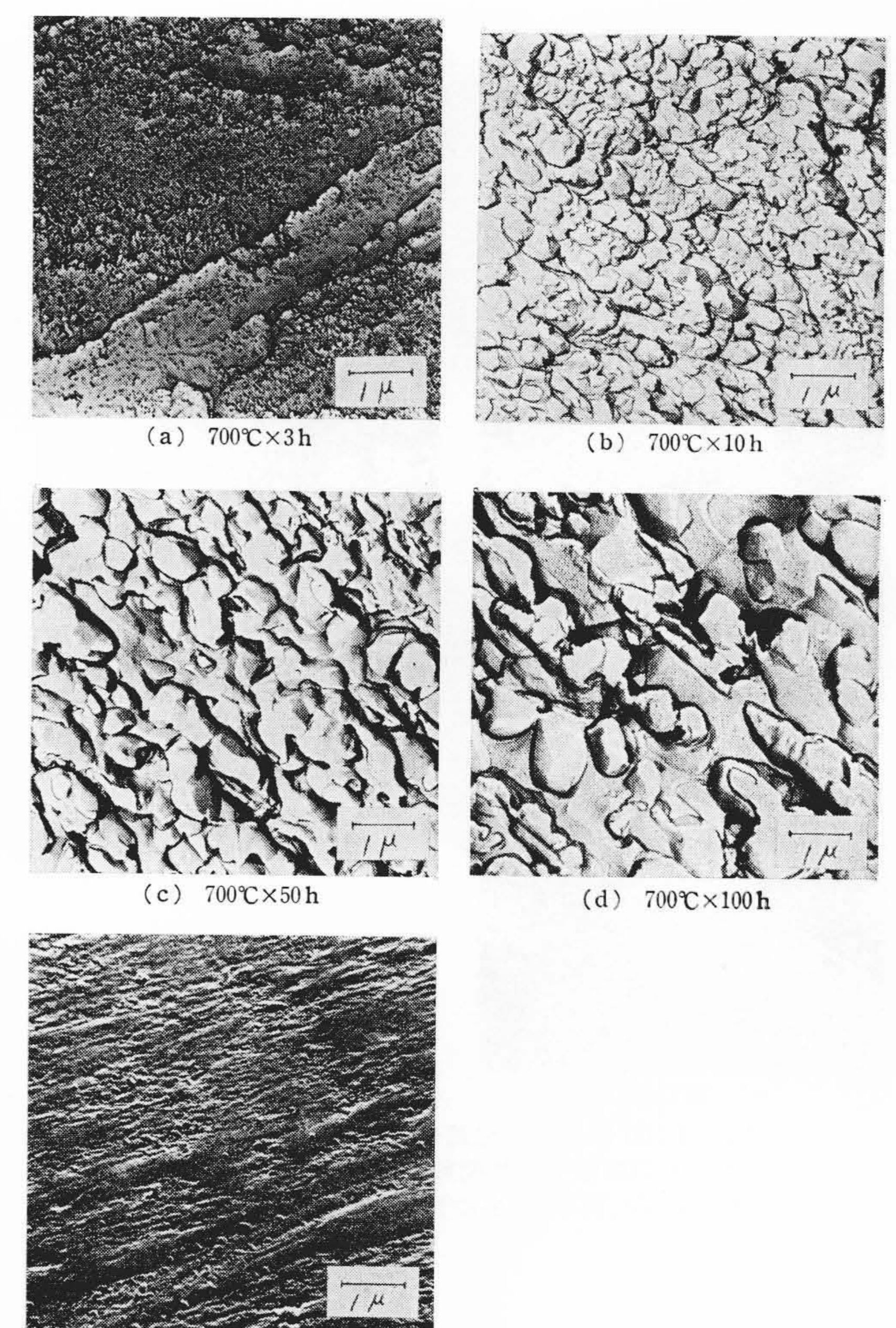
また、40 kOe における J_c と熱処理時間との関係は図6に示したとおりである。 J_c は 10 時間の熱処理で著しく増加し、91 時間で最大になる。

加工材および加工後 700°C で熱処理した Nb-40 Zr-10 Ti 合金の H- J_c 特性を図 8 に示す。 J_c は加工度を 0, 94 および 98% と増していくと増加していくが,98% 加工材でも,40 kOe においては 1×10^3 A/cm² である。すなわち,加工による J_c の増加分はたかだか 5 倍程度である。 この 98% 加工材を 700°C で 3 時間熱処理すると J_c は 1.5×10^5 A/cm² となった。 すなわち,熱処理による J_c の増加分は 150 倍程度である。この事実は,この合金の J_c に対する析出の影響がきわめて大きいことを示したものである。

最終熱処理材において、700°C での熱処理時間を 3 時間からさらに増していくと J_c はしだいに減少していく。図 9 は加工後 700°C で熱処理した試料の電子顕微鏡レプリカ写真である。

加工材のX線回折パターンは β 相の反射線のみであったが、この加工材を10時間熱処理した試料のX線回折パターンは β' と β'' 相の反射線のみから成っていた。したがって、10時間の熱処理で β 相の大部分が β' と β'' 相とに分離したことになる。

図9から明らかなように、熱処理時間を3時間からさらに増していくと2相分離によって生成した β' と β'' 相はしだいに成長していく。写真の球状の部分は β' と β'' 相のいずれに相当するかは不明であったが、組織の粗大化を表わす量として球状析出物間の間隔(d)を測定し、その迷数と20, 40 および60 kOe での臨界電



(e) 700℃×3h中間熱処理

図 9 700℃で3~100hの最終熱処理(a)~(d)ならびに 700℃×3hの中間熱処理(e)した Nb-40 Zr-10 Ti 合金の電子顕微鏡レプリカ写真

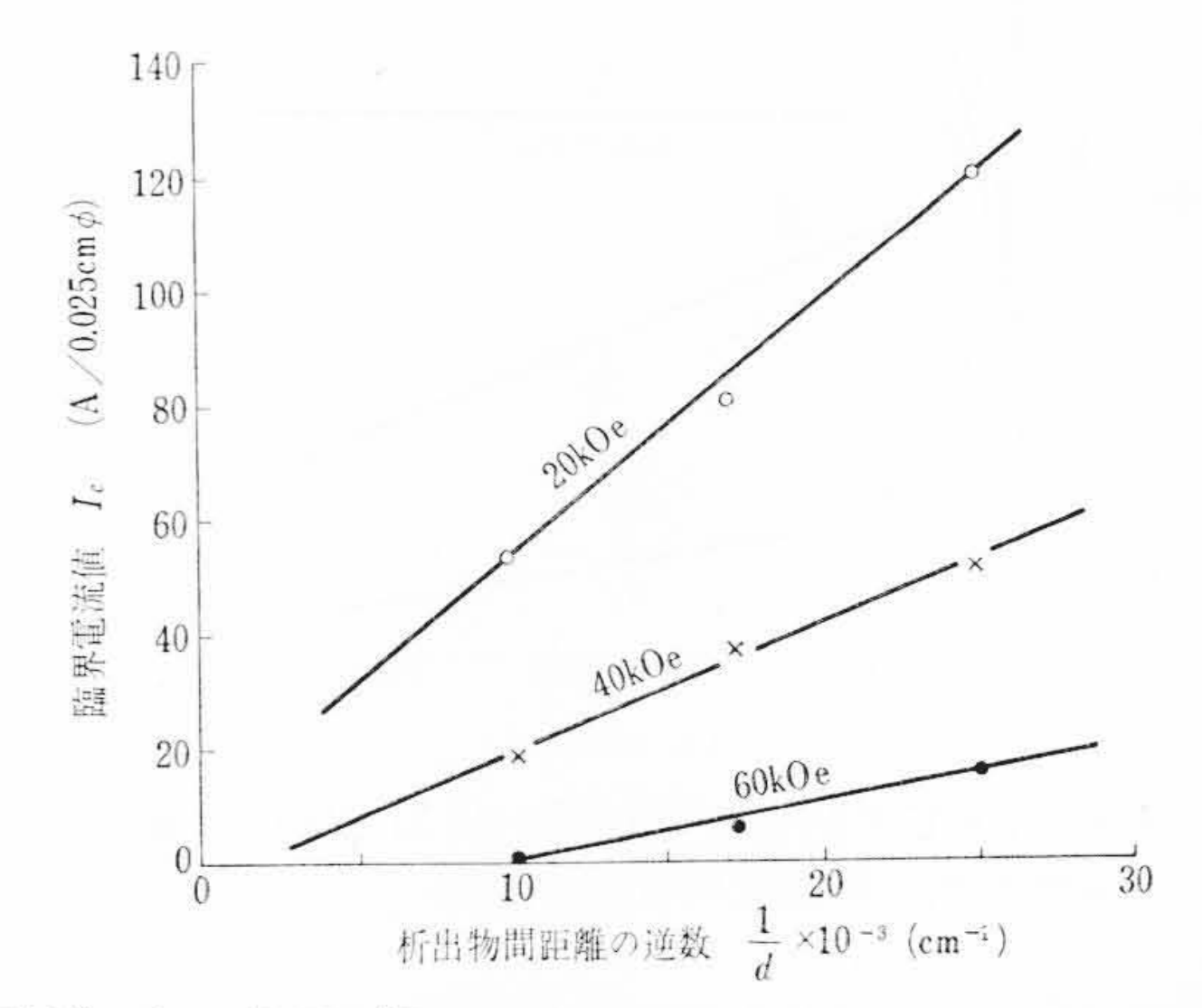


図 10 加工後 700℃ で熱処理した Nb-40 Zr-10 Ti 合金の 析出物間距離の逆数と臨界電流値との関係

流値 I_c (A/0.025 cm. dia.) との関係を示すと図 10 のようになる。 $d \ge I_c \ge$ の間には直線関係が成立している。700℃ で 3 時間の 熱処理後さらに 94% 加工した試料の J_c は Nb-40 Zr-10 Ti 合金 の中では最大であった。700℃ で 3 時間熱処理後加工した試料の電子顕微鏡レプリカ写真(図 $\mathbf{9}$ (e)) と 3 時間熱処理後の試料のそれ(図 $\mathbf{9}$ (a)) とを比較すると,その組織において著しい差が認められる。

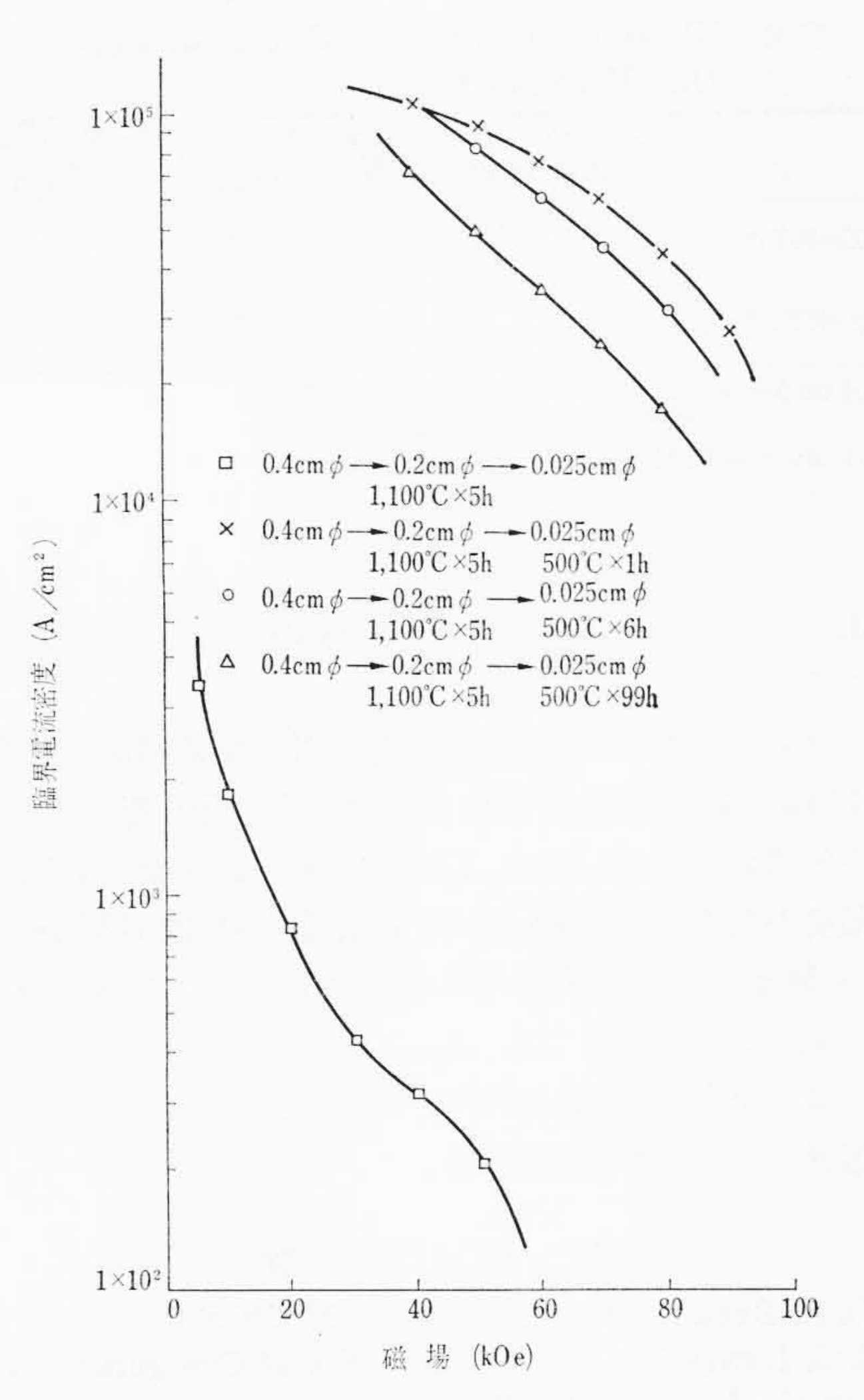


図 11 加工後 500℃ で熱処理した Nb-5 Zr-60 Ti 合金の *H-J。*特性

2.3.2 Nb-5 Zr-60 Ti 合金の H-Jc 特性に及ぼす析出の影響

500°C で 1 時間熱処理した試料の J_c は 40 kOe で 1×10^5 A/cm² であり、熱処理による J_c の増加分は約 3,000 倍である。しかしながら熱処理時間を 1 時間からさらに増していくと J_c はしだいに減少していく。図 12 は加工後 500°C で 1 および 99 時間熱処理した試料の電子顕微鏡レプリカ写真である。

すでに 1 時間の熱処理で加工組織のファイバーに沿って微細な α 析出物が認められ、99 時間の熱処理では直径約 1μ の大きさに 成長している。したがって、500 での熱処理時間を 1 時間から さらに増していくと J_c が減少していくのは、この α 析出物の成長 によると推測される。

また、 T_c は加工材では 8.2° K、 500° C×1h の熱処理材では 8.6° K であった。

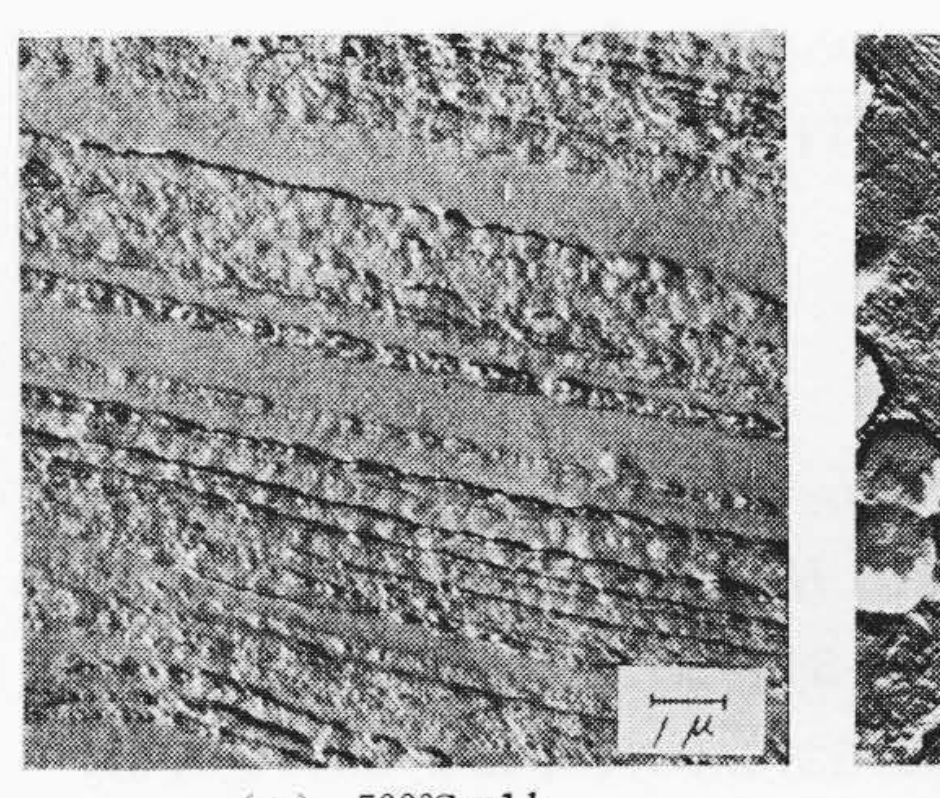
2.4 結果の検討

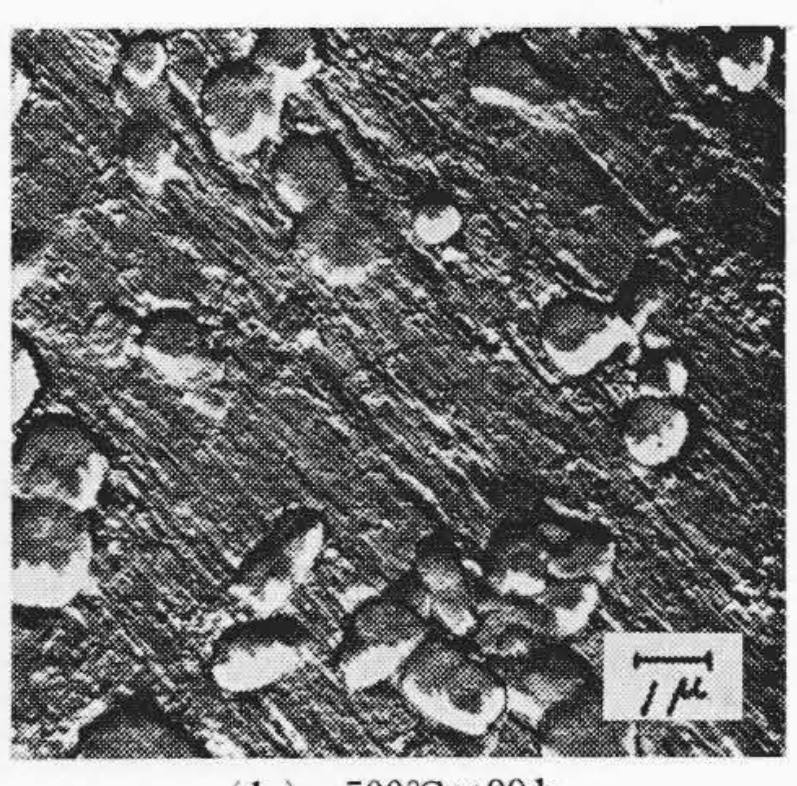
2.4.1 転 移 温 度

溶体化処理後 700° C で熱処理した Nb-40 Zr-10 Ti 合金の T_e と 熱処理時間との関係を考えてみる。

図 6 において T_c は β 相のみからなる溶体化処理材の 9.3°K から β' と β'' の 2 相が共存する 91 時間熱処理材の 10.3°K まで変化し、この反応の進行過程にある 10 および 50 時間熱処理材ではそれぞれ 9.9 および 10.2°K である。いま β , β' および β'' に相当する組成の固溶体の T_c はそれぞれ 9.3, 8.5 および 10.3°K であるから (12), 10 および 50 時間熱処理材の T_c はこれらのいずれの相の値でもない。

もし、 $\beta \to \beta' + \beta''$ 変態が連続析出の形態をとるならば、変態の進行とともにマトリックスの組成は連続的に変化していくので、 T_c も 9.3 から 10.3°K の間を連続的に変わる。 また不連続析出の形態であっても β 、 β' および β'' 相間に proximity effect が生ず





(a) 500°C×1h

(b) 500°C×99 h

図 12 加工後 500℃ で熱処理した Nb-5 Zr-60 Ti 合金の電子顕微鏡レプリカ写真

れば、同様な T_c の変化を示すと考えられる $^{(16)}$ ($^{(17)}$)。この合金の $^{(27)}$ 相分離の形態は、X線回折パターンには $^{(37)}$ および $^{(37)}$ 相の反射線のみしか確認されず、また粒界反応の存在は不連続析出形であることを示している。しかしながら、 $^{(37)}$ 10時間熱処理材では図 $^{(47)}$ ($^{(57)}$ 10)に示されるように連続析出形を示す粒内に均一に分布した粒状析出物が顕著に認められ、連続析出が同時に進行している可能性も考えられる。したがって、現段階では $^{(47)}$ 10 および $^{(57)}$ 10 時間熱処理材の $^{(47)}$ 12 proximity effect によるものであると断定はできない。

2.4.2 臨界電流密度

硬超電導体の磁場中での J_c は試料中に欠陥を導入すると増加するのは欠陥がローレンツ力による磁束線の移動を防止するエネルギー障壁になるためである $^{(3)(4)}$ 。このピン止め力の一つとしては,欠陥とマトリックスとの間に生じた局部的な内部応力が考えられ,加工によって転位密度を増すと J_c が増加するのはこれに起因する $^{(18)}$ 。

また試料中に存在する微細な常電導体とか weaker superconductor も磁束線をピン止めする $^{(19)}$ 。不純物の添加,析出によって J_c が増加するのは主としてこれに起因する。 $Nb-40\,Zr-10\,Ti$ および $Nb-5\,Zr-60\,Ti$ 合金の加工材と熱処理材の $H-J_c$ 特性を示す図 $8\,$ および図 $11\,$ から明らかなように,これら合金の $H-J_c$ 特性に及ぼす熱処理の効果は加工のそれよりも著しく大きい。

熱処理による J_c 増加は、析出物の存在自体によるピン止め効果のほかに析出ひずみによる内部応力増加からの寄与も考慮しなければならない。

図7において、Nb-40 Zr-10 Ti 合金を溶体化処理後 700℃ で 1時間以上の熱処理材の H_V と σ_B は減少(すなわち、内部応力の減少を示す)しているにもかかわらず J_c は増加している。したがって、この合金においては析出による J_c の増加は析出物自体が主因である。Nb-40 Zr-10 Ti 合金を 700℃ で時効すると $\beta \to \beta' + \beta''$ 変態が起こり、 β 、 β' と β'' 相あるいは β' と β'' 相の共存した状態になる。これら 3 相のうち、 β' 相の T_c は 8.5 $^{\circ}$ 化 と最も低い (12)。したがって、これらの相が共存した状態では β' 相の部分の order parameter は最も低く、ここに磁束線はピン止めされる。すなわち、 β' 相は weaker superconductor として J_c 増加に寄与したと考えられる。

Nb-5 Zr-60 Ti 合金 を 500 $^{\circ}$ で熱処理すると $\beta \rightarrow \alpha + \beta$ 変態が起こる。

 α 相はTi rich の組成であり、その T_c は約2°Kと推定される $^{(20)}$ 。したがって、この α 相はH– J_c 特性の測定温度(4.2°K)においては常電導となり、 β 相中においては磁束線のピン止め点になりうる。これらピン止め点としての β' と α 相の大きさと間隔がH– J_c 特性を決定する重要な因子となることは図 10 からも明らかである。ピン止め点の大きさ(r)と間隔(d)は cohelence length (ξ)

H

のオーダーであるとき、ピン止め効果は最大になると考えられている $^{(21)}$ 。 いま、Nb-40 Zr-10 Ti 合金と Nb-5 Zr-60 Ti 合金の cohelence length を

$$\xi \simeq \frac{\varphi_0}{2\pi H_{c2}}$$

の関係から概算する。ここで H_{c2} は臨界磁場, φ_0 は一量子磁束($=2.07\times10^{-7}\,\mathrm{G\cdot cm^2}$)である。 H_{c2} は H_r とほぼ等しいと考えると,Nb-40 Zr-10 Ti 合金と Nb-5 Zr-60 Ti 合金の $4.2^\circ\mathrm{K}$ における H_r はそれぞれ 105 と 113 kOe であるから, ξ は約 50 Å となる。図 6 から明らかなように加工後 $700^\circ\mathrm{C}$ で 10 時間熱処理した Nb-40 Zr-10 Ti 合金の β 相の r と d はともに数千 Å である。したがって,図 8 において 3 時間よりもさらに熱処理時間を増すと J_c が減少していくのは,ピン止め点の r と d の値が 50 Å からしだいに離反していくためであろう。 溶体化処理後 $700^\circ\mathrm{C}$ で 50,91 および 503 時間熱処理した Nb-40 Zr-10 Ti 合金の パーライト状組織の層間距離はそれぞれ $4\sim5\times10^{-5}$, $2\sim3\times10^{-5}$ および $6\sim7\times10^{-5}\,\mathrm{cm}$ であった。したがって,このパーライト状組織中の β' 相をピン止め点と考えると,この層間距離が cohelence length に最も近い 91 時間時効材で J_c は最大になったと考えられる。

同様に Nb-5 Zr-60 Ti 合金を 500 $^{\circ}$ で熱処理すると α 析出物は 図 12(b)のように 99 時間で直径約 1μ になる。 すなわち,図 11 に示すように熱処理時間を 1 から 99 時間と増していくと J_{α} が減 少するのは,この α 析出物の粗大化によるものである。

図8においてNb-40 Zr-10 Ti 合金の J_c は、700 $\mathbb{C} \times 3$ h の中間熱処理材の値が最大であった。 すなわち、熱処理後加工すると J_c はさらに増加する。図9の(a)と(e)の写真を比較しただけではその微細構造は明らかでないが、 β' 相が加工によって微細化し、ピン止め効果がより強くなったと考えられる。

図 11 に示した Nb-5 Zr-60 Ti 合金の J_c は 500 $^{\circ}$ での熱処理よりは 350 $^{\circ}$ で 330 時間熱処理したほうが大きかった。 これは 350 $^{\circ}$ で熱処理した試料の内部微細構造が J_c を高めるのに効果的であることを示している。

2.4.3 Nb-40Zr-10Ti と Nb-5Zr-60Ti 合金の超電導特性

700°C で 3 時間中間熱処理した Nb-40 Zr-10 Ti 合金および 350 $^{\circ}$ C で 330 時間最終熱処理した Nb-5 Zr-60 Ti 合金の $^{\circ}$ H- $^{\circ}$ J_c 特性, $^{\circ}$ T_c および $^{\circ}$ H, をまとめると表 2 のようになる。

Nb-40 Zr-10 Ti 合金の J_c は Nb-5 Zr-60 Ti 合金の J_c に比べて、80 kOe 以下の磁場では高い値を示している。

3. 結 言

- (1) Nb-40 Zr-10 Ti 合金を 700°C で熱処理すると J_c が増加するのは $\beta \to \beta' + \beta''$ 変態によって生じた β' 相が β , β'' との 3 相または β'' 相との 2 相共存状態では weaker superconductor となり,磁束線をピン止めすることによると考えられる。また,Nb-5 Zr-60 Ti 合金を 500°C で熱処理すると J_c が増加するのは, $\beta \to \alpha + \beta$ 変態によって生じた α 相が normal conductor となって磁束線をピン止めすることによると考えられる。
- (2) J_c はピン止め点 (β' と α 相) の大きさと間隔に非常に敏感であった。 すなわち、組織を微細化し、 β' と α 相を cohelence

1

表 2 Nb-40 Zr-10 Ti および Nb-5 Zr-60 Ti 合金の H_r , T_c および H- J_c 特性

組 成	成	4.2°K における 磁場 <i>H_r</i> (kOe)	臨界温度 $T_c(^{\circ}K)$	4.2° K における臨界電流密度 J_c (A/cm 2)	
		版物 IIr (KOE)	Ic(K)	40 kOe	90 kOe
Nb-40Zr-	-10Ti*	105	10.3	$3.6\!\times\!10^5$	1.0×104
Nb-5Zr-6	60Ti**	113	8.6	2.5×10 ⁵	3.0×10^4

* $0.4 \text{ cm} \phi \longrightarrow 0.2 \text{ cm} \phi \longrightarrow 0.1 \text{ cm} \phi \longrightarrow 0.025 \text{ cm} \phi$

** $0.4 \text{ cm}\phi \xrightarrow{1,100^{\circ}\mathbb{C}\times5\text{ h}} 700^{\circ}\mathbb{C}\times3\text{ h}$ $0.4 \text{ cm}\phi \xrightarrow{0.2 \text{ cm}\phi} 0.025 \text{ cm}\phi$ $1,100^{\circ}\mathbb{C}\times5\text{ h} 350^{\circ}\mathbb{C}\times330\text{ h}$

length (この場合数百Å) のオーダーにオストピンル みが用いる

length (この場合数百Å) のオーダーにするとピン止め効果は最大になる。

(3) 700°C で 3 時間中間熱処理した Nb-40 Zr-10 Ti 合金の H_r は 105 kOe, 40 および 80 kOe における J_c はそれぞれ 3.6×10^5 および 5.0×10^4 A/cm², また, T_c は 10.3°K であった。350°C で 330 時間最終熱処理した Nb-5 Zr-60 Ti 合金の H_r は 113 kOe, 40 および 90 kOe における J_c はそれぞれ 2.5×10^5 および 3.0×10^4 A/cm², また T_c は 8.6°K であった。

終わりに本研究の遂行にあたり,ご指導を賜わった故前田清治郎 博士に感謝し,そのご冥福を祈る。

参考文献

- (1) D. A. Buck: Proc. IRE, 44, 482, (1956)
- (2) J.C. Lawrence: 1967 International Cryogenic Engineering Conference で発表
- (3) Y. B. Kim, C. F. Hempstead, A. R. Strnad: Phys. Rev., 131, 2486, (1963)
- (4) P.W. Anderson: Phys. Rev. Lett., 9, 306, (1962)
- (5) J. Friedel, P. G. De Gennes, J. Matricon: Appl. Phys. Lett., 2, 119, (1963)
- (6) L.E. Toth, I.P. Pratt: Appl. Phys. Lett., 4, 75, (1964)
- (7) H. B. Shukovsky, K. M. Ralls, R. M. Rose: Trans. Met. Soc. AIME, 233, 1825, (1965)
- (8) M. Suenaga, J. L. O'Brien, V. F. Zackay, K. M. Ralls: Trans. Met. Soc. AIME, 239, 992, (1967)
- (9) F. W. Reuter, K. M. Ralls, J. Wulff: Trans. Met. Soc. AIME, 236, 1143, (1966)
- (10) J. B. Vetrano, R. W. Boom: J. Appl. Phys., 39, 1179, (1965)
- (11) J. Sutton, C. Baker: Phys. Lett., 21, 601, (1966)
- (12) T. Doi, M. Mitani, T. Umezawa: J. Japan Inst. Met., 30, 133, (1966)
- (13) T. Doi, F. Ishida, T. Umezawa: J. Japan Inst. Met., 30, 213, (1966)
- (14) T. Doi, F. Ishida, T. Umezawa: J. Japan Inst. Met., 30, 220, (1966)
- (15) T. Doi, F. Ishida, T. Umezawa: J. Japan Inst. Met., 30, 139, (1966)
- (16) R. F. Hehemann, S. T. Zegler: Trans. Met. Soc. AIME, 236, 1594, (1966)
- (17) P. G. De Gennes: Rev. Mod. Phys., 33, 225, (1964)
- (18) W. W. Webb: Phys. Rev. Lett., 11, 191, (1963)
- (19) J. D. Livingston: Appl. Phys. Lett., 8, 319 (1966)
- (20) J. K. Hulm, R. D. Blaugher: Phys. Rev., 123, 1569 (1961)
- (21) A. R. Strnad, C. F. Hempstead, Y. B. Kim: Phys. Rev. Lett., 13, 794, (1964)